

تمرین سری چهارده دینامیک غیرخطی و آشوب

صالح شاملو احمدی

۲۶ خرداد ۱۴۰۲

۱ اسفنج و ابراسفنج منثر (مسئله 11.3.9)

برای اسفنج منثر (Menger sponge) به ازای هر شش وجه و مرکز، یک زیرمکعب کاهش می یابد. پس $m = 27 - 6 - 1 = 20$. از طرفی هر زیرمکعب سه برابر از مکعب اصلی کوچکتر است. پس

$$d = \frac{\ln m}{\ln r} = \frac{\ln 20}{\ln 3} \approx 2.73. \quad (۱)$$

چون حجم اسفنج منثر به صفر میل می کند اما سطح آن به بی نهایت میل می کند، بُعد آن باید بین 2 و 3 باشد که نشان می دهد عددی که برای بُعد بدست آوردیم منطقی است.

برای ابراسفنج منثر (Menger hypersponge) در N بُعد، همچنان $r = 3$ و برای پیدا کردن m باید الگویی برای تعداد زیر-ابرمکعب هایی که از 3^N زیر-ابرمکعب باقی می ماند پیدا کنیم. برای این منظور، هندسه مسئله را به مختصات تبدیل می کنیم تا به نوعی بتوانیم آن را کمی کنیم. برای فرش سرپینسکی، یک عدد به ردیف و یک عدد به ستون نسبت می دهیم، طوری که جفت عدد (x, y) مکان هر مربع را توصیف کند. در این صورت مربع $(2, 2)$ حذف می شود. اگر همین کار را برای اسفنج منثر با سه عدد (x, y, z) تکرار کنیم، مکعب هایی حذف می شوند که حداقل دو عدد 2 در مختصات خود داشته باشند. این معادل این است که هر مکعبی روی صفحه ای دو بُعدی در وسط قرار بگیرد، حذف می شود. این روش ساختن هر نوع ابراسفنج منثر است؛ در N بُعد، اگر مختصات با حداقل دو عدد 2 حذف شوند، مختصات باقی مانده مربوط به یک عدد 2 و هیچ عدد 2 است. برای اولی باید یک مختصه را انتخاب کنیم و برابر 2 قرار دهیم و بقیه مختصات را برابر عدد 1 یا 3 قرار دهیم. برای دومی باید تمام مختصات را برابر عدد 1 یا 3 قرار دهیم. در این صورت، با استفاده از ترکیبیات،

$$m_N = \binom{N}{1} 2^{N-1} 2^{N-1} + 2^N = 2^{N-1}(N+2), \quad (۲)$$

پس

$$d_N = \frac{\ln m_N}{\ln r} = \frac{\ln(2^{N-1}(N+2))}{\ln 3} = \frac{(N-1)\ln 2 + \ln(N+2)}{\ln 3}. \quad (۳)$$

با استفاده از این رابطه، مطابق انتظار

$$d_2 = \frac{\ln(2^{2-1}(2+2))}{\ln 3} = \frac{\ln 8}{\ln 3}, \quad \checkmark \quad (4)$$

$$d_3 = \frac{\ln(2^{3-1}(3+2))}{\ln 3} = \frac{\ln 20}{\ln 3}, \quad \checkmark \quad (5)$$

و به عنوان مثال در $N = 4$

$$d_4 = \frac{\ln(2^{4-1}(4+2))}{\ln 3} = \frac{\ln 48}{\ln 3}. \quad (6)$$

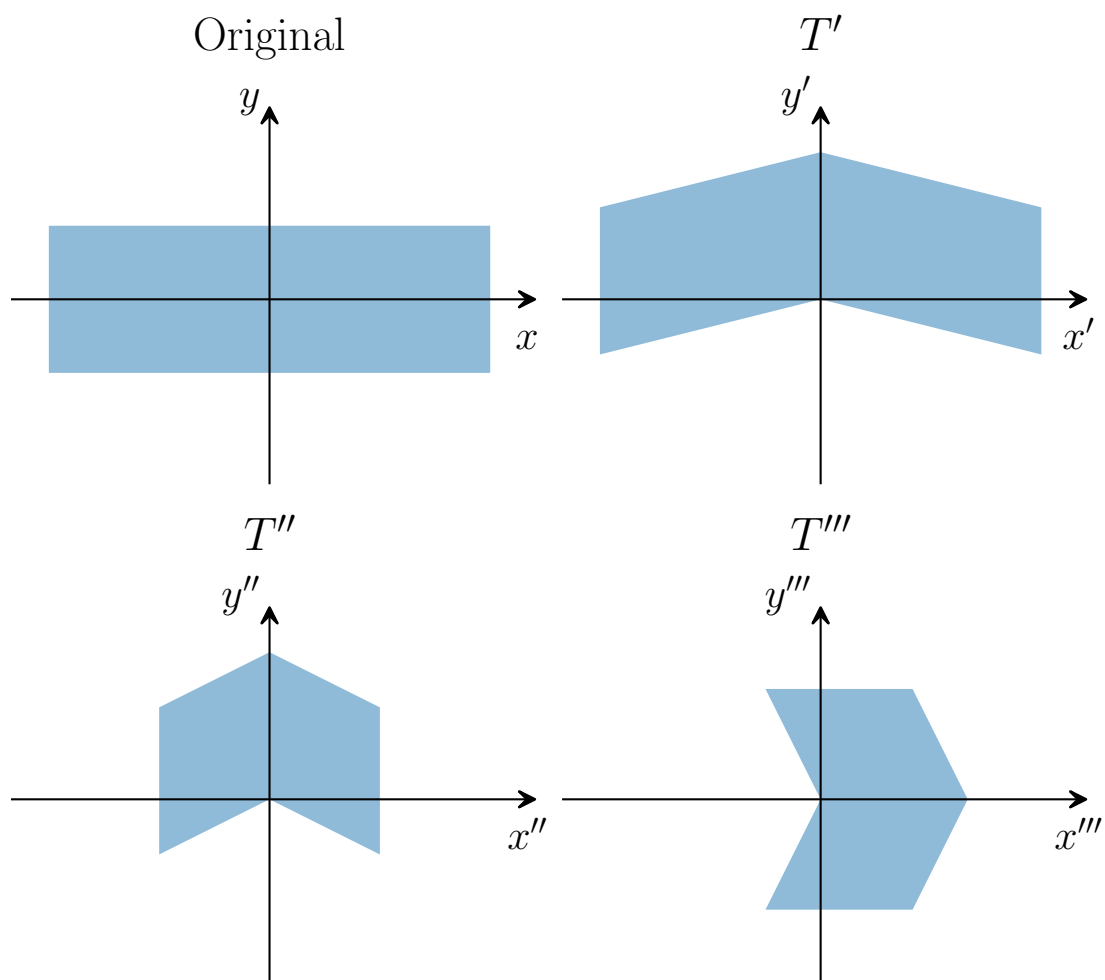
۲ نداشت لُزی (Lozi)

$$x_{n+1} = 1 + y_n - a|x_n|, \quad y_{n+1} = bx_n \quad (7)$$

۱۲.۲.۱۴

مشابه نداشت هنون (Hénon) تبدیل‌های T تشکیل‌دهنده نداشت را تعریف می‌کنیم:

$$\begin{cases} T' : x' = x, & y' = 1 + y - a|x| & (\text{ا}8) \\ T'' : x'' = bx', & y'' = y' & (\text{ب}8) \\ T''' : x''' = y'', & y''' = x'' & (\text{ج}8) \end{cases}$$



شکل ۱: مراحل اعمال نگاشت لُزی روی یک مستطیل سه در یک برای $a = 0.25$ و $b = 0.5$

۲.۲ 12.2.15

ژاکوبی نگاشت لُزی برابر است با

$$J = \begin{pmatrix} -a \operatorname{sgn}(x) & 1 \\ b & 0 \end{pmatrix}, \quad (9)$$

پس دترمینان J که نسبت مساحت بعد به قبل اعمال نگاشت است برابر است با

$$\det(J) = -b. \quad (10)$$

نگاشت در حالتی که $|\det(J)| < 1$ مساحت‌ها را کوچک می‌کند. این یعنی

$$-1 < b < 1 \quad (11)$$

۳.۲ 12.2.16

در نقاط ثابت $(x_{n+1}, y_{n+1}) = (x_n, y_n) = (x^*, y^*)$ پس

$$\begin{cases} x^* = 1 + y^* - a|x^*|, \end{cases} \quad (۱۲)$$

$$\begin{cases} y^* = bx^*, \end{cases} \quad (۱۳)$$

$$\Rightarrow \begin{cases} x^* > 0 : & x^* = 1 + bx^* - ax^* \Rightarrow x^* = \frac{1}{1+a-b}, \quad (\tilde{۱۴}) \\ x^* < 0 : & x^* = 1 + bx^* + ax^* \Rightarrow x^* = \frac{1}{1-a-b}. \quad (۱۴\text{ب}) \end{cases}$$

در آخر با رعایت خودسازگاری،

$$(x^*, y^*) = \begin{cases} \left(\frac{1}{1+a-b}, \frac{b}{1+a-b} \right), & a > b-1, \quad (\tilde{۱۵}) \\ \left(\frac{1}{1-a-b}, \frac{b}{1-a-b} \right), & a > 1-b. \quad (۱۵\text{ب}) \end{cases}$$

با استفاده از ویژه‌مقادیر ماتریس ژاکوبی برای خطی‌سازی، برای هر دو نقطه

$$\lambda_{\pm} = \frac{-a \operatorname{sgn}(x) \pm \sqrt{a^2 + 4b}}{2} \quad (۱۶)$$

حال نامعادله مربوط به پایداری $|\lambda_{\pm}| < 1$ را حل می‌کنیم.

$$\left| a \operatorname{sgn}(x) \pm \sqrt{a^2 + 4b} \right| < 2 \quad (۱۷)$$

با حالت‌بندی و حل این معادله (محاسبات آن تکرار زیاد دارد و نیازی نمی‌بینم در اینجا آن را کامل بنویسم)،

$$\begin{cases} b-1 < a < 1-b, \end{cases} \quad (۱۸)$$

$$\begin{cases} -1 < b < 1. \end{cases} \quad (۱۹)$$

این محدوده در صفحه $a-b$ یک مثلث با رأس‌های $(-1, 2)$ ، $(-1, -2)$ و $(1, 0)$ است. داخل این مثلث هر دو نقطه پایدار و خارج آن هر دو نقطه ناپایدار هستند.

۴.۲ 12.2.17

در چرخه دوتایی $(x_{n+2}, y_{n+2}) = (x_n, y_n) = (x, y)$ ، پس

$$\begin{cases} x = 1 + bx - a|1 + y - a|x||, & (۲۰) \\ y = b(1 + y - a|x|), & (۲۱) \end{cases}$$

با حل این معادلات

$$(x, y) = \begin{cases} \left(\frac{1-a-b}{a^2+(b-1)^2}, \frac{b(1+a-b)}{a^2+(b-1)^2} \right), & a > 1-b, & (۲۲) \\ \left(\frac{1+a-b}{a^2+(b-1)^2}, \frac{b(1-a-b)}{a^2+(b-1)^2} \right), & a > b-1. & (۲۲\text{ب}) \end{cases}$$

این بار ژاکوبی برابر است با

$$J = \begin{pmatrix} b + a^2 \operatorname{sgn}(x(1+y-a|x|)) & -a \operatorname{sgn}(x) \\ -ab \operatorname{sgn}(x) & b \end{pmatrix} \quad (۲۳)$$

که در نقطه اول برابر است با

$$J_1 = \begin{pmatrix} b-a^2 & -a \\ ab & b \end{pmatrix} \quad (۲۴)$$

و در نقطه دوم برابر است با

$$J_1 = \begin{pmatrix} b-a^2 & a \\ -ab & b \end{pmatrix}. \quad (۲۵)$$

با بدست آوردن ویژه مقادیر

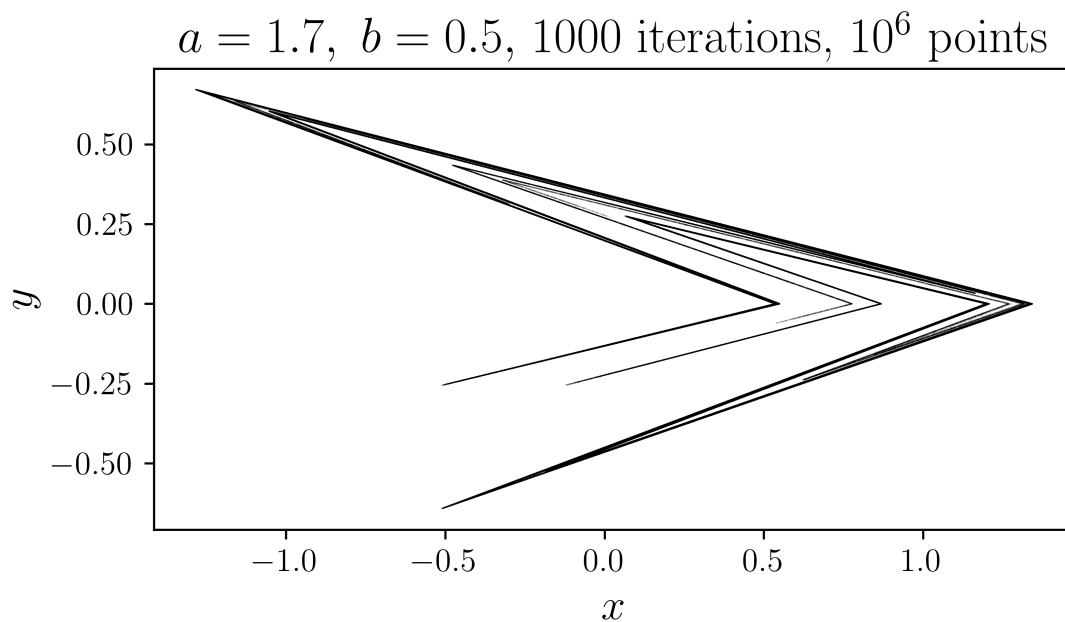
$$\lambda_{\pm} = \frac{-a^2 + 2b \pm a\sqrt{a^2 - 4b}}{2} \quad (۲۶)$$

و با حل نامعادله پایداری $|\lambda_{\pm}| < 1$ محدوده پایداری بدست می آید

$$\begin{cases} 1-b < a < 1+b, & (۲۷) \\ 0 < b < 1, & (۲۸) \end{cases}$$

که در صفحه $a-b$ مثلی است با رأس های $(1,0)$ ، $(1,2)$ و $(0,1)$.

۵.۲ 12.2.18

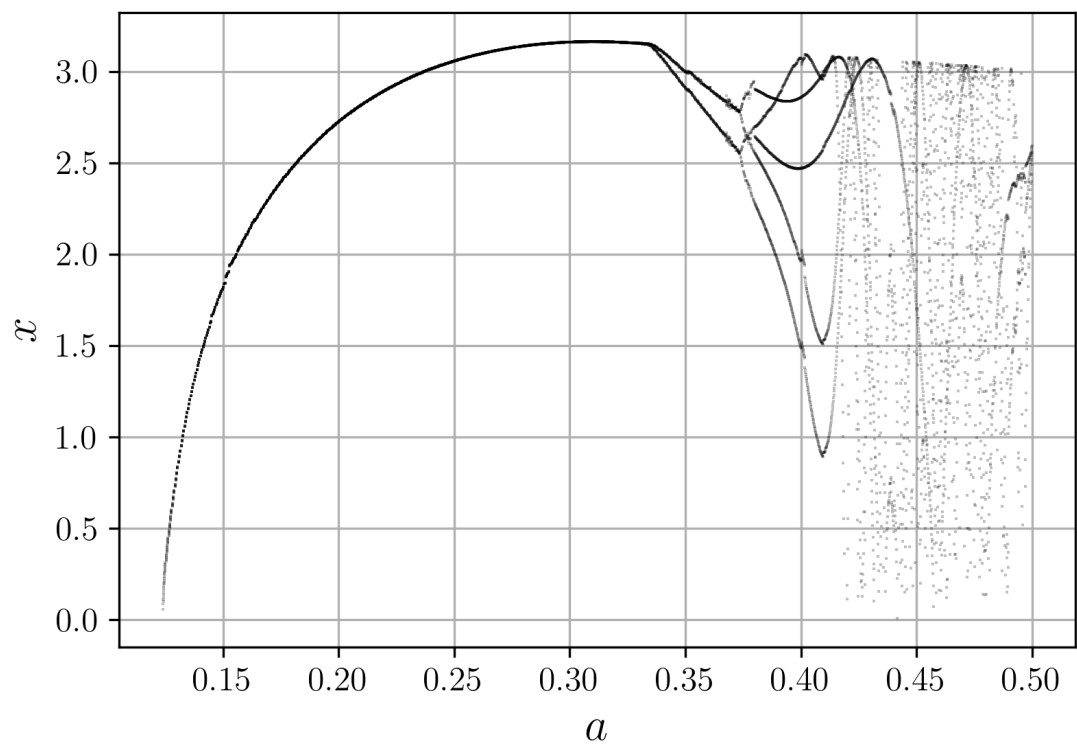


شکل ۲: ساختار فراکتالی مربوط به رباینده عجیب در شکل دیده می شود.

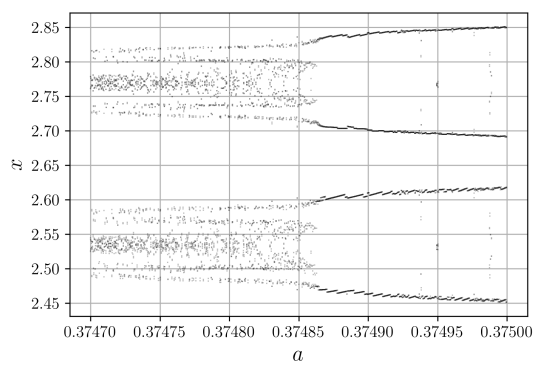
۳ سیستم روسلر

۱.۳ 12.3.1, a)

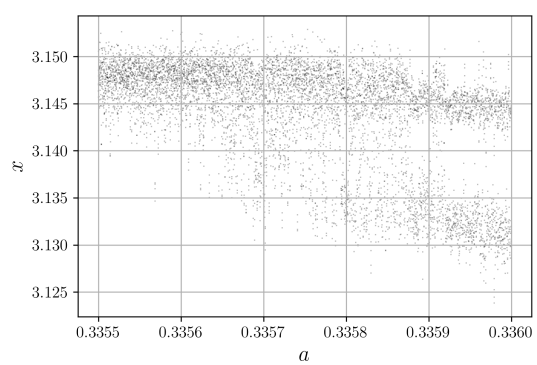
برای درست کردن نمودار دوشاخگی، x های مثبتی که در آن ها y تغییر علامت می دهد را برحسب a رسم می کنیم. این نوعی مقطع از سیستم می دهد که تحلیل آن را ساده تر می کند. با توجه به نمودار و زومی که روی آن انجام شده، دوشاخگی Hopf در حدود $a = 0.3357$ است و اولین دوشاخگی دوبرابرکننده دوره تناوب در حدود $a = 0.37483$ است.



شکل ۳: نمودار دوشاخگی



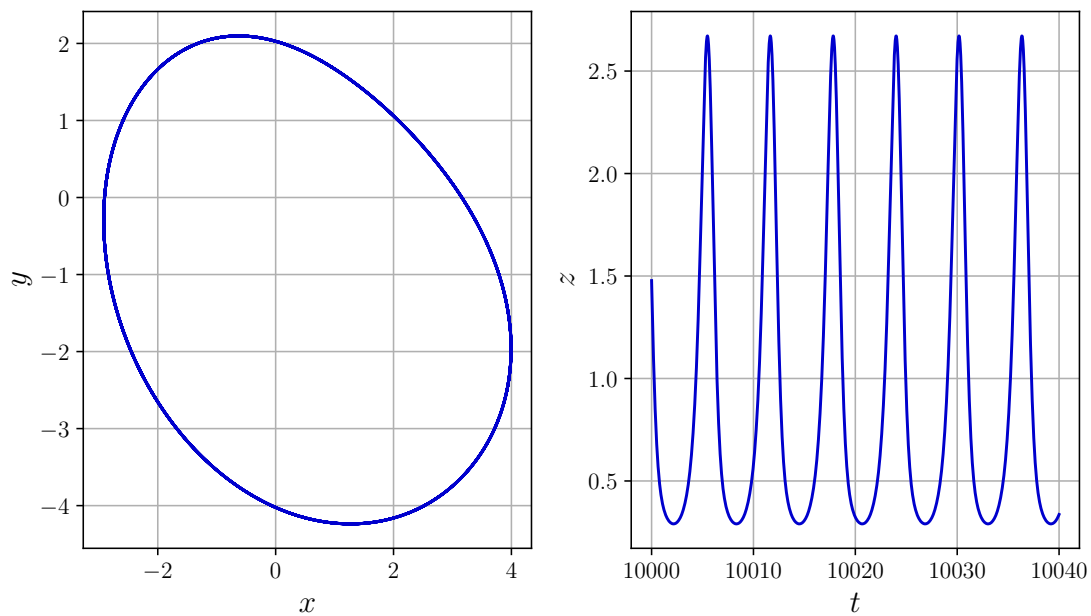
(ب) زوم روی اولین دوشاخگی دوبرابرکننده دوره تناوب.



(آ) زوم روی دوشاخگی Hopf

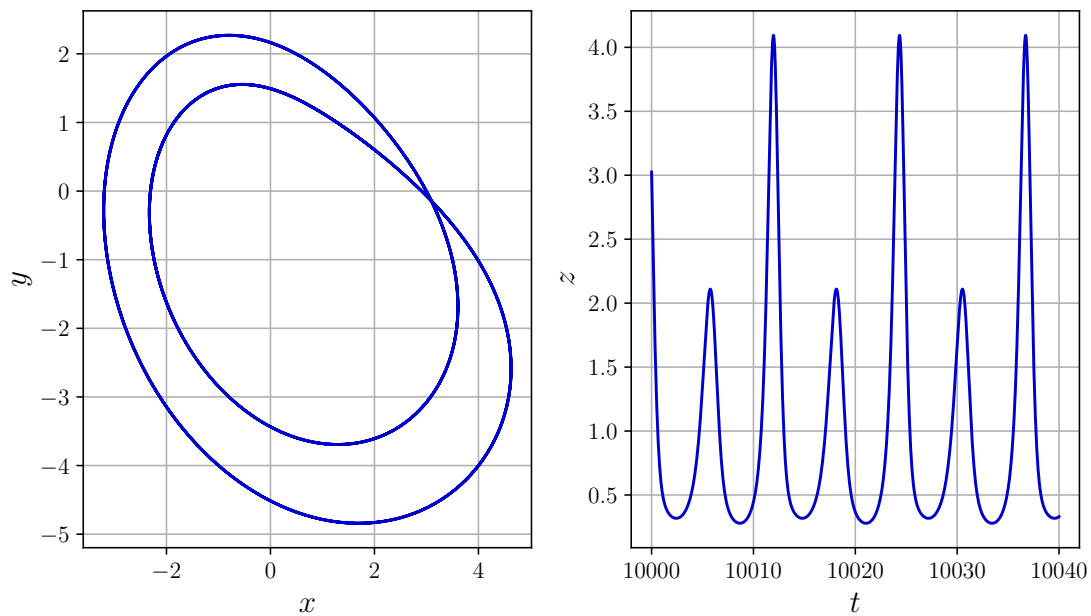
۲.۳ 12.3.1, b)

$$a = 0.3, \quad b = 2, \quad c = 4$$



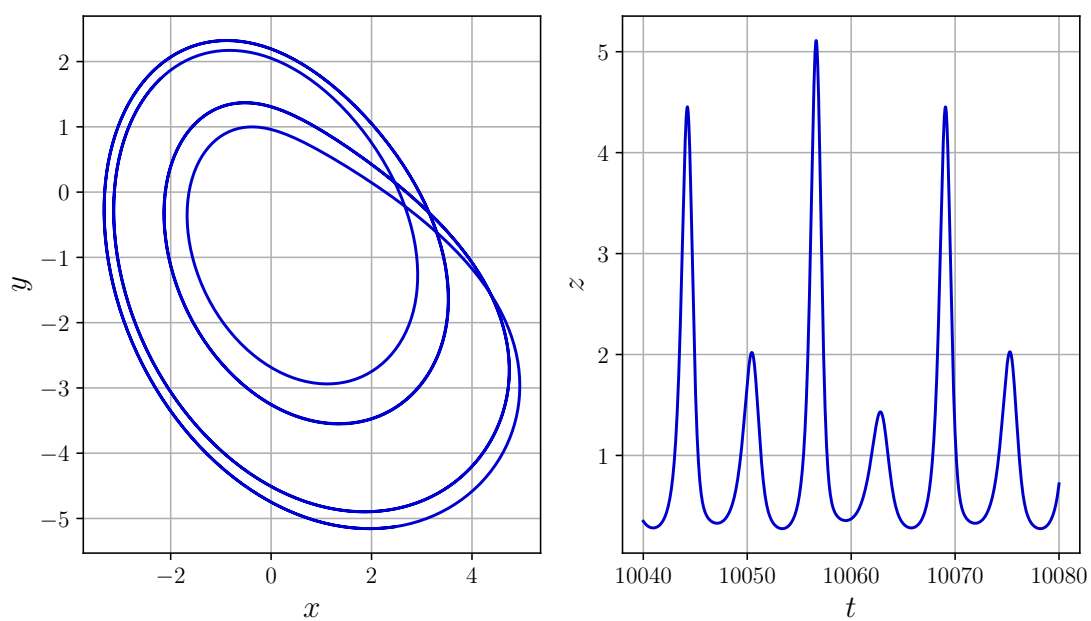
شکل ۵: قبل از دوشاخگی Hopf

$$a = 0.35, \quad b = 2, \quad c = 4$$



شکل ۶: بعد از دوشاخگی Hopf و قبل از دوشاخگی دوبرابرکننده دوره تناوب.

$$a = 0.38, \quad b = 2, \quad c = 4$$



شکل ۷: بعد از اولین دوشاخگی دوبرابرکننده دوره تناوب.